

# **EVALUASI SETTING RELAY ARUS LEBIH DAN SETTING RELAY GANGGUAN TANAH PADA GARDU INDUK 150KV BAWEN**

Adhitya Indrajaya Putra<sup>\*)</sup>, Karnoto, and Bambang Winardi

Departemen Teknik Elektro, Universitas Diponegoro  
Jl. Prof. Sudharto, SH, Kampus UNDIP Tembalang, Semarang 50275, Indonesia

<sup>\*)Email: adhit\_ijp@yahoo.com</sup>

## **Abstrak**

Sistem distribusi merupakan bagian dari sistem tenaga listrik yang berfungsi menyalurkan listrik ke konsumen, sehingga kerja dari sistem proteksi membutuhkan keandalan dalam menjaga peralatan penyaluran dari gangguan diantaranya gangguan hubung singkat. Meminimalisir gangguan tersebut diperlukan sistem proteksi yang memenuhi persyaratan sensitifitas, keandalan, selektifitas dan kecepatan, yang semuanya tergantung pada ketepatan dalam setting peralatan proteksinya. Salah satu peralatan proteksi yang digunakan adalah relai arus lebih (OCR) dan relai hubung tanah (GFR). Pada penulisan penelitian ini akan dibahas evaluasi antara setting OCR dan GFR BWN 02 dan BWN 09 pada Gardu Induk Bawen. Hasil perbandingan *setting* koordinasi proteksi perhitungan dengan simulasi, menunjukkan bahwa *setting* koordinasi proteksi perhitungan dapat bekerja dengan baik dibanding dengan simulasi yang terpasang di Gardu Induk Bawen. Hasil perhitungan dari setting OCR pada sisi *incoming* di dapat nilai TMS = 0,151, sedangkan *setting* OCR pada sisi *outgoing* didapat nilai TMS = 0,127. Penyetelan GFR pada sisi *incoming* di dapat nilai TMS = 0,345, sedangkan *setting* GFR pada sisi *outgoing* didapat nilai TMS = 0,172. Koordinasi antar relay pada perhitungan sudah sesuai dengan standart IEC 60255 dengan granding time 0,3-0,5 detik.

*Kata kunci : setting OCR ,setting GFR, hubung singkat, proteksi.*

## **Abstract**

Distribution system is part of electrical power system has main function to feed electricity to consumers. In line with this development, operation of protection relays on distribution requires reliability in maintaining the distribution equipment from fault, including short circuit. So, to minimize the fault, protection system that meets requirements of sensitivity, reliability, selectivity and speed, which is all depends on the precision in setting protection equipment. One of the protective device that used in medium voltage network is an over current relay (OCR) and ground fault relay(GFR). In this research discuss the evaluation between setting OCR and GFR BWN 02, BWN 09 on Bawen substation. The comparison result of the coordination setting of the calculation protection with the simulation shows that the coordination setting of the calculation protection can work well compared to simulation installed in Substation Bawen. The calculation from OCR setting in incoming side acquired TMS = 0,151. Meanwhile OCR setting in outgoing side acquired TMS = 0,127. GFR setting in incoming side acquired TMS 0,345. Meanwhile GFR setting in outgoing side acquired TMS = 0,172. Coordination between the relay on the calculation is in accordance with the standard IEC 60255 with granding time of 0.3-0.5 seconds.

*Keywords: OCR settings, setting GFR, short circuit, protection*

## **1. Pendahuluan**

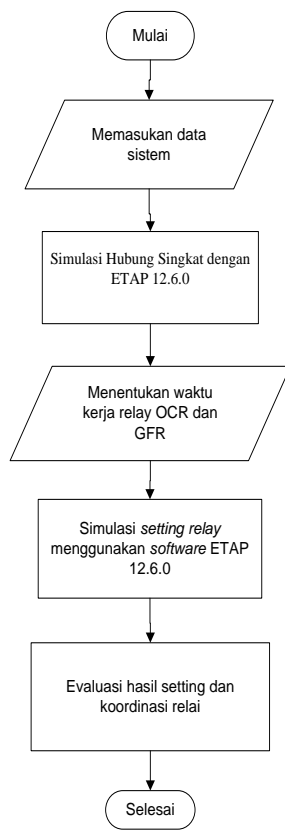
Sistem distribusi adalah bagian dari sistem tenaga listrik yang berfungsi menyalurkan listrik ke konsumen. Dengan meningkatnya beban yang sejalan dengan pertumbuhan penduduk, dapat berakibat terjadinya persentasi kenaikan gangguan. Gangguan yang sering terjadi adalah gangguan hubung singkat antar fasa dan gangguan fasa tanah.

Besarnya arus gangguan hubung singkat yang dapat terjadi di dalam sistem distribusi, sistem proteksi dituntut meningkatkan keandalannya. Salah satu upaya adalah mengoptimalkan kerja *relay* untuk mendapat keandalan yang baik. Koordinasi antar *relay* juga menentukan keandalan suatu proteksi, salah satu koordinasi yang harus di jaga adalah koordinasi antara *relay* arus lebih dan *relay* gangguan tanah

Penelitian akan dilakukan dengan menghitung dan mengevaluasi *setting relay* yang ada pada penyulang BWN 02 dan BWN 09 pada Gardu Induk Bawen. Pemodelan dilakukan dengan diagram satu garis yang ada di Gardu Induk Bawen dengan menggunakan bantuan program ETAP 12.6.0.

## 2. Metode

### 2.1. Langkah Penelitian

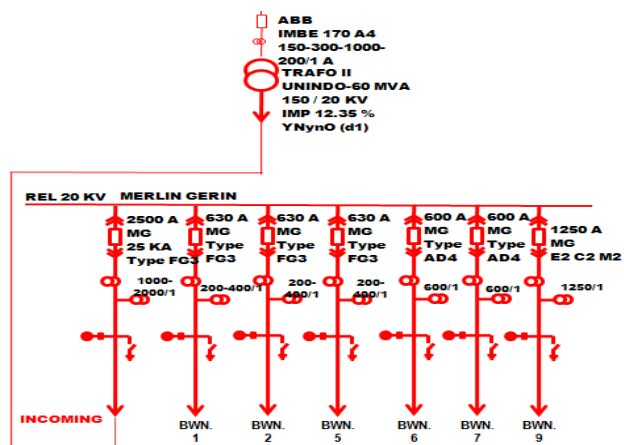


Gambar 1. Metode penelitian analisis evaluasi *Setting relay* menggunakan simulasi program ETAP

Pada penelitian ini menjelaskan tentang proses evaluasi *setting relay* yaitu *relay arus lebih* dan *relay hubung tanah* di sisi *incoming* dan *outgoing* pada Gardu Induk Bawen. Perangkat lunak yang akan digunakan adalah *Electrical Transient Analysis Program* (ETAP) 12.6.0. Secara umum langkah penelitian yang dilakukan sebagaimana terlihat pada Gambar 1.

### 2.2. Data Sistem

Diagram satu garis pada kondisi existing dari sistem kelistrikan Gardu Induk Bawen Trafo II Gambar 2.



Gambar 2. Diagram Satu Garis Jaringan Distribusi 20 kV GI Bawen

Adapun data yang digunakan adalah seperti pada Tabel berikut:

Tabel 1. Data Trafo Tenaga

Data Trafo Tenaga	
Merk	UNINDO
Daya	60 MVA
Arus HS	2585,09 MVA
Tegangan	150 / 20 kV
Impedansi (Z %)	12.35 %
Rasio CT (22 kV)	2000/1
Vektor Grup	YNyn0

Tabel 2. Data OCR dan GFR pada *Incoming* Trafo 60MVA gardu induk Bawen

Data Trafo OCR & GFR	
merk	Merlin Gerin
type	SEPAM 20
karakteristik	Standart invers
I nominal	5A
Rasio CT	2000/1
TMS OCR	0.16
TMS GFR	0.42

Tabel 3. Data OCR dan GFR pada *outgoing* Trafo 60MVA gardu induk Bawen

Data Penyulang BWN 02	Data Penyulang BWN 09
Jarak penyulang	4,6 km
Jenis kabel	AAAC 240mm <sup>2</sup>
	Relay BWN02
Merk	Merlin Gerin
Type	SEPAM 20
Karakteristik	Standart invers
I nominal	5A
Rasio CT	400/1
TMS OCR	0.16
TMS GFR	0.32

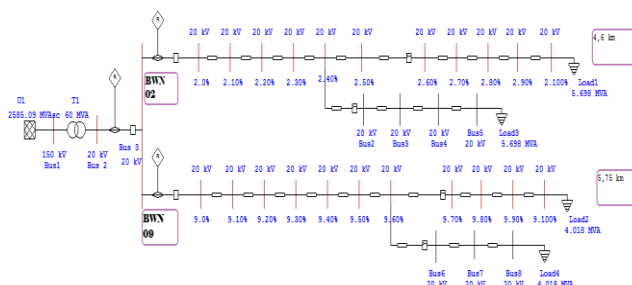
Tabel 4. Data Teknis Kabel AAC mm<sup>2</sup>

Kabel A3C	Data per Km (ohm)	
	R	Jx
Z1/Km (240 mm <sup>2</sup> )	0.1344	0.3158
Z0/Km (150mm <sup>2</sup> )	0.3441	1.618

Tabel 5. Data Recloser

Peralatan	Merk	Kurva	TMS OCR	TMS GFR	Iset OCR	Iset GFR
REC2	Coope r	IEC SI	0.08	0.15	380	120
REC9	IEC SI	0.10	0.15	350	100	

### 2.3. Pemodelan



Gambar 3. Pemodelan jaringan BWN 02 dan BWN 09

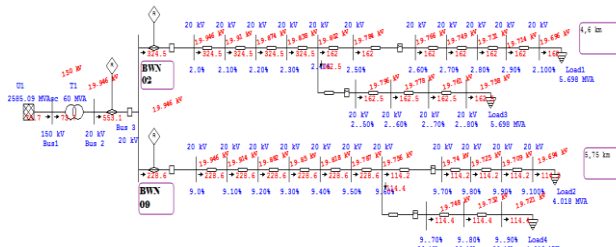
Berdasarkan pada data PLN maka dapat dibuat pemodelan diagram satu garis BWN 02 dan BWN 09 menggunakan program ETAP 12.6.0 seperti pada Gambar 3.

## 3. Hasil dan Analisa

Dalam bab ini, akan membahas tentang arus hubung singkat dan setting relay arus lebih pada trafo 60 MVA Gardu Induk Bawen, untuk menentukan koordinasi relay arus lebih menggunakan ETAP 12.6.0 dan perhitungan manual.

### 3.1. Simulasi Aliran Daya

Simulasi aliran daya dilakukan menggunakan menu Load Flow Analysis pada program ETAP 12.6.0. Data yang digunakan adalah data pada Tabel 1 hingga Tabel 5 dan pemodelan jaringan seperti Gambar 4.



Gambar 4. Simulasi aliran daya BWN 02 dan BWN 09

### 3.2. Menentukan Arus Hubung Singkat

Untuk menentukan arus hubung singkat dilakukan dengan 2 metode yaitu dengan menggunakan simulasi pada program ETAP 12.6.0 dan perhitungan manual.

Rumus gangguan hubung singkat 3 fasa

$$I_{3\text{fasa}}(\text{pu}) = \frac{V_{ps}}{Z_{1\text{eq}}} = \frac{Ea}{Z_{1\text{eq}}} = \frac{1}{\sqrt{(0^2+0.2445^2)}} = 4.0899 \text{ pu}$$

$$I_{3\text{fasa(A)}} = I_{3\text{fasa}}(\text{pu}) * I_{\text{base}} = 4.0899 * 2,887 \text{ kA} = 11807.5 \text{ A}$$

Rumus arus gangguan hubung singkat 2 fasa

$$I_{2\text{fasa}}(\text{pu}) = \frac{V_{ph-ph}}{Z_{1\text{eq}}+Z_{2\text{eq}}} = \frac{Ea}{Z_{1\text{eq}}+Z_{2\text{eq}}} = \frac{\sqrt{3}}{2} \times I_{hs3\text{fasa}}$$

$$= \frac{\sqrt{3} * 1}{2 * (\sqrt{(0^2+0.2445^2)})} = 1.7514 \text{ pu}$$

$$I_{2\text{fasa(A)}} = I_{2\text{fasa}}(\text{pu}) * I_{\text{base}} = 1.7514 * 2,887 \text{ kA} = 5056.4 \text{ A}$$

Rumus arus gangguan hubung singkat 2 fasa tanah

$$I_{a1} = \frac{Ea}{Z_{1\text{eq}} + \frac{Z_2\text{eq} \times Z_0\text{eq}}{Z_2\text{eq} + Z_0\text{eq}}} = \frac{1}{0,2445 \angle 90 + \frac{0,2445 \angle 90 \times 0,2445 \angle 90}{0,2445 \angle 90 + 0,2445 \angle 90}} = 2,7266 \angle -90$$

$$I_{a0} = -\left( \frac{Ea - Z_1 I_{a1}}{Z_0} \right) = -\left( \frac{1 - (0,2445 \angle 90 \times 2,7266 \angle -90)}{0,2445 \angle 90} \right) = 1,3633$$

$$I_{2\text{fasa tanah(A)}} = 3 \times I_{a0} = 3 \times 1,3633 = 4,0899 \text{ pu}$$

$$I_{2\text{fasa tanah(A)}} = I_{2\text{fasa tanah}}(\text{pu}) * I_{\text{base}} = 4,0899 * 2,887 \text{ kA} = 11807,5 \text{ A}$$

Rumus arus gangguan hubung singkat 1 fasa ke tanah

$$I_{1\text{fasa-tanah}}(\text{pu}) = \frac{3 * V_{ph}}{Z_{1\text{eq}} + Z_{2\text{eq}} + Z_{0\text{eq}}} = \frac{3 * Ea}{Z_{1\text{eq}} + Z_{2\text{eq}} + Z_{0\text{eq}}} =$$

$$= \frac{3 * 1}{(\sqrt{0^2+0.2445^2}) + (\sqrt{0^2+0.2445^2}) + (\sqrt{0^2+0.2445^2})} = 4.0899 \text{ pu}$$

$$I_{1\text{fasa-tanah(A)}} = I_{1\text{fasa}}(\text{pu}) * I_{\text{base}} = 4.0899 * 2,887 \text{ kA} = 11807.5 \text{ A}$$

Dengan cara yang sama untuk persentase jarak yang lain di dapat

Berdasarkan Tabel 6 dan Tabel 7 dapat dilihat perbandingan antara perhitungan arus hubung singkat pada ETAP dan perhitungan secara manual. Saat gangguan 3 fase terjadi pada titik 1% hingga 100% nilai gangguan pada ETAP dan perhitungan manual memiliki nilai yang hampir sama dan memiliki rata – rata selisih sebesar 0,15%. Terlihat pula arus hubung singkat pada saat gangguan 2 fase memiliki seslisih rata – rata 0,15%,

2 fase ke tanah memiliki selisih rata – rata 0,08%, dan 1 fase ke tanah memiliki selisih 0,12%.

Berdasarkan pada hasil analisa arus gangguan hubung singkat dapat dilihat bahwa semakin panjang saluran maka arus gangguan hubung singkat semakin kecil.

**Tabel 6. Hasil perhitungan arus hubung singkat penyulang BWN02**

Jarak %	Jarak (Km)	Arus gangguan (ampere)			
		3 fasa	2fasa	2fasatanah	1fasatanah
0%	0	11807,5	10224,2	11805,6	11805,6
10%	0,46	10263,3	8888,6	7554,8	8702,4
20%	0,92	9058,9	7845,5	5540,4	6875,2
30%	1,38	8097,3	7012,7	4370,8	5677,0
40%	1,84	7314,3	6334,6	3607,9	4832,2
50%	2,3	6665,8	5772,9	3071,3	4205,1
60%	2,76	6120,6	5300,8	2673,5	3721,4
70%	3,22	5565,4	4898,7	2366,8	3337,1
80%	3,68	5256,5	4552,4	2123,1	3024,5
90%	4,14	4908,8	4251,2	1924,9	2765,2
100%	4,6	4603,6	3987,0	1760,6	2546,8

**Tabel 7. Hasil perhitungan arus hubung singkat penyulang BWN 09**

Jarak %	Jarak (Km)	Arus gangguan (ampere)			
		3 fasa	2fasa	2fasatanah	1fasatanah
0%	0	11807,6	10224,2	11805,6	11805,6
10%	0,575	9934,9	8604,1	6926,6	8161,6
20%	1,15	8552,3	7406,7	4887,0	6219,5
30%	1,725	7496,0	6491,9	3772,6	5019,1
40%	2,3	6665,8	5772,9	3071,3	4205,1
50%	2,875	5997,7	5194,3	2590,6	3617,3
60%	3,45	5449,2	4719,3	2238,3	3173,1
70%	4,025	4991,4	4322,8	1970,9	2825,8
80%	4,6	4603,6	3987,0	1760,6	2546,8
90%	5,175	4271,2	3699,1	1590,8	2317,8
100%	5,75	3983,2	3449,6	1480,8	2126,5

### 3.3. Penyetelan OCR, dan GFR

Pada perhitungan *setting relay* OCR dan GFR menggunakan karakteristik *standard inverse*, perhitungan *setting* peralatan proteksi dimulai darin *relay outgoing* dan *relay incoming*. Penentuan *setting* waktu kerja (Top) berdasarkan *grading time* antar peralatan proteksi sesuai IEC 60255 sebesar 0,3-0,5 detik [15]. Berikut merupakan rumus perhitungan *setting relay* OCR dan GFR pada penyulang BWN02 dan BWN09 Trafo 60 MVA Gardu Induk Bawen sesuai dengan standar IEC 60255 dengan karakteristik *standar invers*.

- **Rumus TMS OCR**

$$TMS_{OCR} = \frac{\left[ \frac{I_{hubung\ singkat\ 3\Phi}}{I_{set}} \right]^{0,02} - 1}{0,14} \times t_{op} \quad (1)$$

- **Rumus TMS GFR**

$$TMS_{GFR} = \frac{\left[ \frac{I_{hubung\ singkat\ 1\Phi\ -tnh}}{I_{set}} \right]^{0,02} - 1}{0,14} \times t_{op} \quad (2)$$

- **Iset OCR**

$$Iset = 1,05 - 1,2 \times I_{beban\ maksimum} \quad (3)$$

Atau

$$Iset = Kuat\ Hantar\ Arus\ Penyulang \quad (4)$$

- **Iset GFR**

$$Iset = 0,12 - 0,4 \times I_{HS} \quad L - G\ terkecil \quad (5)$$

**Tabel 8. Perbandingan *Setting Relay* OCR, GFR Incoming Kondisi PLN Dan Perhitungan**

Setting	<i>Setting Relay Incoming</i>		Hasil Perhitungan	
	PLN	OCR	OCR	GFR
TMS	0,16	0,42	0,151	0,345
I set (A)	2078	693	2078	519,6

**Tabel 9. Perbandingan *Setting Relay* OCR, GFR Outgoing Kondisi PLN Dan Perhitungan**

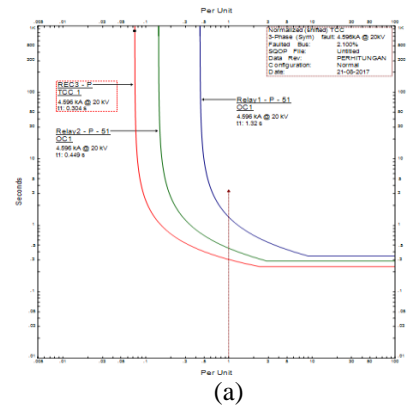
Setting	<i>Setting Relay Outgoing</i>		Hasil Perhitungan	
	Existing	OCR	OCR	GFR
TMS	0,16	0,32	0,127	0,171
I set (A)	480	240	659	425

Persyaratan yang harus dipenuhi yaitu untuk penyetelan waktu *grading timer* relay penyulang tidak boleh kurang dari 0,3 s. Keputusan ini diambil agar memberi kesempatan *relay outgoing* bekerja terlebih dahulu sedangkan *relay incoming* sebagai *back up protection* jika *relay outgoing* gagal bekerja. Perbedaan nilai TMS pada *setting relay* kondisi existing dan perhitungan dikarenakan pada penentuan nilai Iset dan waktu kerja (Top) yang berbeda.

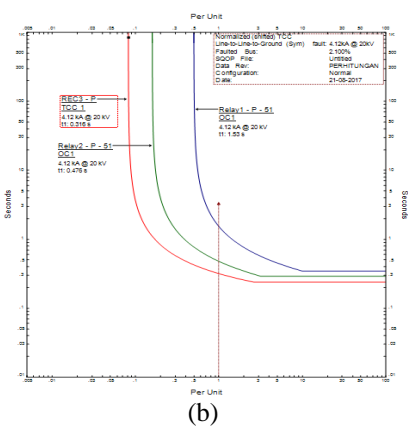
### 3.4. Evaluasi Koordinasi *Setting Relay* OCR, dan GFR

Berdasarkan simulasi koordinasi sistem proteksi hasil perhitungan dan nilai setting kondisi PLN dapat di ketahui waktu kerja peralatan sistem proteksi ketika terjadi gangguan hubung singkat. Berikut adalah gambar kurva arus terhadap waktu yang ditunjukkan oleh Gambar 5 menunjukan kurva arus terhadap waktu koordinasi proteksi pada feeder BWN 2 hasil perhitungan dan Gambar 6 menunjukkan kurva arus terhadap waktu koordinasi proteksi setting PLN. Tabel 11 hingga Tabel 18 menunjukan perbandingan waktu kerja peralatan proteksi penyulang BWN02 dan BWN09 setting PLN dengan perhitungan.

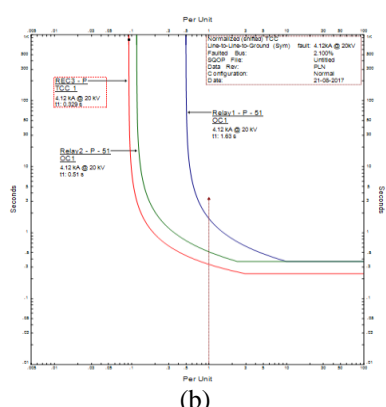
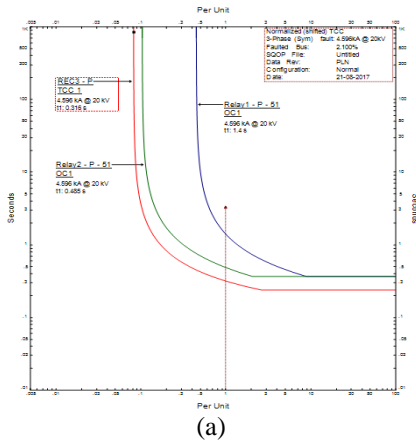
#### 1. Koordinasi Setting Relay Penyulang BWN02



(a)



**Gambar 5.** Tampilan Kurva Arus-Waktu Koordinasi RelayHasil Perhitungan pada ETAP 12.6.0 BWN 02 (a)Kurva OCR, (b)Kurva GFR



**Gambar 6.** Tampilan Kurva Arus-Waktu Koordinasi RelaySetting PLN pada ETAP 12.6.0 BWN 02 (a) Kurva OCR, (b)Kurva GFR

Gambar 5 menunjukkan kurva koordinasi antara relay dan urutan kerja apabila terjadi gangguan hubung singkat pada hasil perhitungan, dan Gambar 6 menunjukkan kurva koordinasi antara relay pada setting PLN. Kedua gambar kurva menunjukkan bahwa tidak ada kurva yang berpotongan baik antara relay dengan recloser.

**Tabel 10.**Perbandingan Waktu Kerja Relay IncomingSetting PLN Dan Perhitungan

Jarak	Kerja relay pada gangguan (detik)							
	Incoming PLN			Incoming Perhitungan				
	3fasa	2fasa	2fasa tanah	1fasa tanah	3fasa	2fasa	2fasa tanah	1fasa tanah
0%	0,634	0,692	1,008	1,008	0,599	0,654	0,782	0,782
10%	0,69	0,76	1,202	1,133	0,653	0,718	0,789	0,833
20%	0,75	0,833	1,386	1,253	0,709	0,787	0,997	0,912
30%	0,813	0,911	1,568	1,369	0,768	0,860	1,111	0,987
40%	0,88	0,995	1,754	1,486	0,831	0,940	1,223	1,060
50%	0,951	1,087	1,946	1,602	0,898	1,026	1,336	1,132
60%	1,027	1,187	2,149	1,721	0,970	1,121	1,451	1,203
70%	1,109	1,298	2,366	1,842	1,047	1,225	1,569	1,275
80%	1,198	1,42	2,598	1,967	1,131	1,340	1,692	1,348
90%	1,294	1,557	2,85	2,096	1,222	1,469	1,821	1,421
100%	1,4	1,712	3,126	2,23	1,321	1,615	1,956	1,496

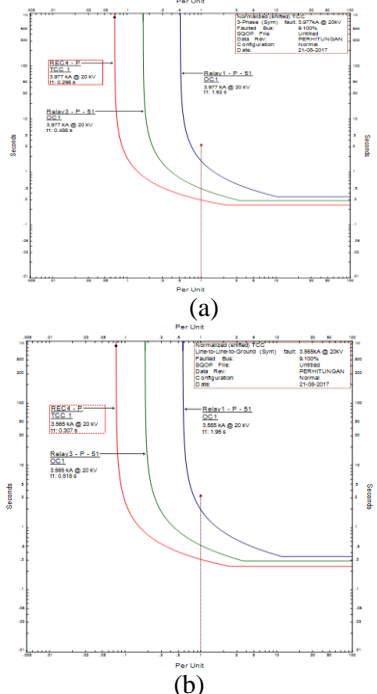
Tabel 10 menunjukkan waktu kerja *relay incoming* berdasarkan *setting* PLN dan perhitungan saat terjadi gangguan memiliki perbedaan waktu. Hasil perhitungan relay incoming memberikan waktu operasi yang lebih cepat dari pada *setting* proteksi PLN. Sebagai contoh ketika terjadi gangguan 3 fase pada jarak 50%, *relay incoming* PLN memiliki waktu kerja 0,951 detik, sedangkan hasil perhitungan memiliki waktu kerja 0,898 detik. Waktu kerja *relay incoming* PLN saat terjadi gangguan fase-tanah pada jarak 50% adalah 1,602 detik sedangkan hasil perhitungan adalah 1,132 detik. Perbedaan waktu kerja tersebut terjadi karena perbedaan *setting* dari TMS *relay incoming*, antara *setting* TMS PLN dengan TMS perhitungan.

**Tabel 11.** Perbandingan Waktu Kerja Relay Outgoing Setting PLN Dan Perhitungan

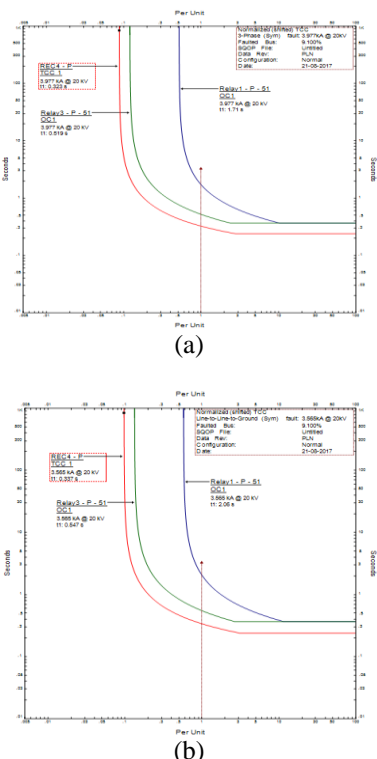
Jarak	Kerja relay pada gangguan (detik)							
	Outgoing PLN			Outgoing Perhitungan				
	3 fasa	2 fasa	2fasa-tanah	1fasa-tanah	3 fasa	2 fasa	2fasa-tanah	1fasa-tanah
0%	0,363	0,363	0,726	0,726	0,299	0,316	0,390	0,390
10%	0,363	0,373	0,726	0,726	0,315	0,333	0,398	0,390
20%	0,370	0,39	0,726	0,726	0,331	0,350	0,446	0,412
30%	0,386	0,407	0,75	0,726	0,346	0,367	0,492	0,442
40%	0,4	0,423	0,805	0,726	0,361	0,384	0,536	0,472
50%	0,415	0,44	0,857	0,76	0,370	0,401	0,579	0,500
60%	0,429	0,456	0,907	0,795	0,390	0,418	0,622	0,528
70%	0,443	0,471	0,957	0,829	0,405	0,435	0,666	0,556
80%	0,457	0,487	1,006	0,862	0,420	0,452	0,710	0,583
90%	0,471	0,503	1,054	0,894	0,434	0,468	0,755	0,611
100%	0,485	0,518	1,102	0,926	0,449	0,486	0,801	0,639

Tabel 11 menunjukkan waktu operasi *relay outgoing* dimana terdapat perbedaan nilai antara *setting* proteksi PLN dan perhitungan. Hasil perhitungan *relay outgoing* memberikan waktu operasi yang lebih cepat dibanding *setting* proteksi PLN. Sebagai contoh ketika terjadi gangguan 3 fase pada jarak 50% *relay outgoing* PLN memiliki waktu kerja 0,415 detik sedangkan hasil perhitungan memiliki waktu kerja 0,370 detik. Perbedaan waktu kerja tersebut terjadi karena perbedaan *setting* dari TMS *relay outgoing*.

## 2. Koordinasi Setting Relay Penyalung BWN09



Gambar 7. Tampilan Kurva Arus-Waktu Koordinasi *Relay* Hasil Perhitungan pada ETAP 12.6.0 BWN 09  
(a) Kurva OCR, (b)Kurva GFR



Gambar 8. Tampilan Kurva Arus-Waktu Koordinasi *Relay*Setting PLN pada ETAP 12.6.0 BWN 09 (a) Kurva OCR, (b)Kurva GFR

Gambar 7 menunjukkan kurva koordinasi antara relay dan urutan kerja apabila terjadi gangguan hubung singkat pada hasil perhitungan, dan Gambar 8 menunjukkan kurva koordinasi antara relay pada setting PLN. Kedua gambar kurva hasil perhitungan dan PLN menunjukkan bahwa tidak ada kurva yang berpotongan baik antara relay dengan relay.

Tabel 12. Perbandingan Waktu Kerja Relay Incoming Setting PLN Dan Perhitungan

Jarak	Kerja relay pada gangguan (detik)							
	Incoming PLN				Incoming Perhitungan			
	3 fasa	2 fasa	1fasa-tanah	3 fasa	2 fasa	2 fasa	1fasa-tanah	
0%	0,634	0,692	1,008	1,008	0,599	0,654	0,750	0,750
10%	0,705	0,778	1,248	1,163	0,666	0,735	0,909	0,853
20%	0,781	0,871	1,477	1,311	0,738	0,823	1,054	0,949
30%	0,863	0,974	1,707	1,457	0,815	0,919	1,195	1,041
40%	0,951	1,087	1,946	1,602	0,898	1,026	1,336	1,132
50%	1,047	1,214	2,204	1,751	0,989	1,146	1,481	1,221
60%	1,153	1,357	2,48	1,904	1,088	1,281	1,631	1,311
70%	1,269	1,522	2,785	2,063	1,198	1,436	1,789	1,403
80%	1,4	1,712	3,126	2,23	1,321	1,615	1,956	1,496
90%	1,547	1,937	3,511	2,406	1,460	1,827	2,136	1,592
100%	1,714	2,206	3,952	2,593	1,618	2,080	2,330	1,691

Tabel 12 menunjukkan waktu kerja *relay incoming* berdasarkan *setting* PLN dan perhitungan saat terjadi gangguan memiliki perbedaan waktu. Hasil perhitungan relay incoming memberikan waktu operasi yang lebih cepat dari pada *setting* proteksi PLN. Sebagai contoh ketika terjadi gangguan 3 fase pada jarak 50%, *relay incoming PLN* memiliki waktu kerja 1,047 detik, sedangkan hasil *perhitungan* memiliki waktu kerja 0,989 detik. Waktu kerja *relay incoming PLN* saat terjadi gangguan fase-tanah pada jarak 50% adalah 1,751 detik sedangkan hasil perhitungan adalah 1,221 detik. Perbedaan waktu kerja tersebut terjadi karena perbedaan *setting* dari TMS *relay incoming*, antara *setting* TMS PLN dengan TMS perhitungan.

Tabel 13. Perbandingan Waktu Kerja Relay OutgoingSetting PLN Dan Perhitungan

Jarak	Kerja relay pada gangguan (detik)							
	Outgoing PLN				Outgoing Perhitungan			
	3 fasa	2 fasa	2fasa-tanah	1fasa-tanah	3 fasa	2 fasa	2 fasa	1fasa-tanah
0%	0,363	0,363	0,726	0,726	0,299	0,316	0,390	0,390
10%	0,363	0,377	0,726	0,726	0,319	0,337	0,410	0,390
20%	0,378	0,398	0,726	0,726	0,338	0,359	0,469	0,427
30%	0,397	0,419	0,791	0,726	0,357	0,380	0,525	0,464
40%	0,415	0,44	0,857	0,76	0,376	0,401	0,579	0,500
50%	0,433	0,46	0,92	0,804	0,394	0,422	0,633	0,535
60%	0,45	0,479	0,981	0,836	0,412	0,443	0,687	0,570
70%	0,468	0,499	1,042	0,886	0,431	0,464	0,743	0,604
80%	0,485	0,518	1,102	0,926	0,449	0,486	0,801	0,639
90%	0,502	0,538	1,162	0,966	0,467	0,507	0,860	0,673
100%	0,519	0,557	1,223	1,005	0,486	0,529	0,923	0,709

Tabel 13 menunjukkan waktu operasi *relay outgoing* dimana terdapat perbedaan nilai antara *setting* proteksi PLN dan *perhitungan*. Hasil *perhitungan* *relay outgoing*

memberikan waktu operasi yang lebih cepat dibanding *setting* proteksi *PLN*. Sebagai contoh ketika terjadi gangguan 3 fase pada jarak 50% *relay outgoing* *PLN* memiliki waktu kerja 0,433 detik sedangkan hasil *perhitungan* memiliki waktu kerja 0,394 detik. Perbedaan waktu kerja tersebut terjadi karena perbedaan *setting* dari TMS dan  $I_{set relay outgoing}$ .

#### **4. Kesimpulan**

Berdasarkan hasil evaluasi koordinasi proteksi, nilai arus hubung singkat hasil perhitungan dan simulasi dengan program ETAP 12.6.0 telah memiliki nilai arus hubung singkat yang hampir sama dengan error rata-rata untuk semua gangguan dan penyulang adalah 0,20 %. Hasil perhitungan dan simulasi pada sisi incoming memiliki perbedaan TMS, di mana untuk TMS OCR perhitungan = 0,1514 dan TMS OCR simulasi = 0,16 ,untuk TMS GFR perhitungan = 0,3453 dan TMS GFR simulasi = 0,42. Hasil perhitungan dan simulasi pada sisi outgoing memiliki perbedaan TMS, di mana untuk TMS OCR perhitungan = 0,1272 dan TMS OCR simulasi = 0,16, untuk TMS GFR perhitungan = 0,1502 dan TMS GFR simulasi = 0,32, perbedaan tersebut karena nilai arus setting ( $I_{set}$ ) dan TMS pada setting ralay *PLN* dan perhitungan berbeda. Waktu kerja (Top) setting proteksi *PLN* ketika terjadi gangguan maksimum pada penyulang BWN02 dan BWN09 belum memenuhi standar penentuan grading time antar peralatan proteksi berdasarkan IEC 60255 yaitu sebesar 0,3 – 0,5 detik. Waktu kerja (Top) hasil perhitungan dari masing – masing relay telah memenuhi standar penentuan grading time antar peralatan proteksi saat gangguan maksimum berdasarkan IEC 60255 yaitu sebesar 0,3 – 0,5 detik.

#### **Referensi**

- [1]. Hidayatulloh Rachmad, 2012 " *Analisa Gangguan Hubung Singkat Pada Jaringan SUTT 150 Kv Jalur Kebasen-Balapulang-Bumiayu Menggunakan Program ETAP*" Teknik Elektro Universitas Diponegoro.
- [2]. Affandi, Irfan. 2009. " *Analisa Setting Relai Arus Lebih dan Relai Gangguan Tanah pada Penyulang Sadewa di Gi Cawang*" Universitas Indonesia
- [3]. SPLN 72 : 1987, *Spesifikasi desain Jaringan Tegangan Menengah dan Jaringan Tegangan Rendah*. 1987.
- [4]. S. S. Rao,2010, *Switchgear Protection And Power System*. New Delhi: Khanna Publishers.
- [5]. SPLN 64 : 1985, *Petunjuk Pemilihan dan Penggunaan Pelebur pada Sistem Distribusi Tegangan Menengah*. 1985.
- [6]. SPLN 52-3 : 1983, *Pola Pengamanan Sistem, Bagian Tiga : Sistem Distribusi 6 kV dan 20 kV*. 1983
- [7]. IEC 60255, *Overcurrent Protection for Phase and Earth Faults*.
- [8]. D. Marsudi, *Pembangkitan Energi Listrik*. Jakarta: Erlangga, 2005.
- [9]. S. Drs. Damam, 2009, *Sistem Distribusi Tenaga Listrik*. Padang.
- [10]. Wahyudi, S, 2012 *Proteksi Sistem Distribusi Tenaga Listrik*. Garamond.